

CORRECTION : BLINDAGE PAR UNE FEUILLE MÉTALLIQUE

1) On lit sur la notice constructeur :

A $f = 2 \text{ kHz}$, range 3V, inexactitude = 2% of reading + 25

$$\text{D'où } U_{2A} = 480 \text{ mV} \pm 9,6 \pm 0,25 = 480 \pm 12 \text{ mV}$$

$$U_{2A} = (4,8 \pm 0,1) 10^2 \text{ mV}$$

à 95%, l'inexactitude est donnée par $\frac{2}{\sqrt{3}} \times 12 = 14 \text{ mV}$

$$U_{2A} = (4,80 \pm 0,14) 10^2 \text{ mV}$$

2)

f	31	50	78,6	110	1000	2200
GdB (dB)	-33,1	-29,6	-27,1	-25,8	-23,7	-23,6

On voit nettement qu'il s'agit d'un filtre Passe-Haut

À basse fréquence, la pente est $\frac{33,1 - 27,1}{\log \frac{78,6}{31}} = 14,8 \text{ dB/décade}$
(on est assez proche de f_0)

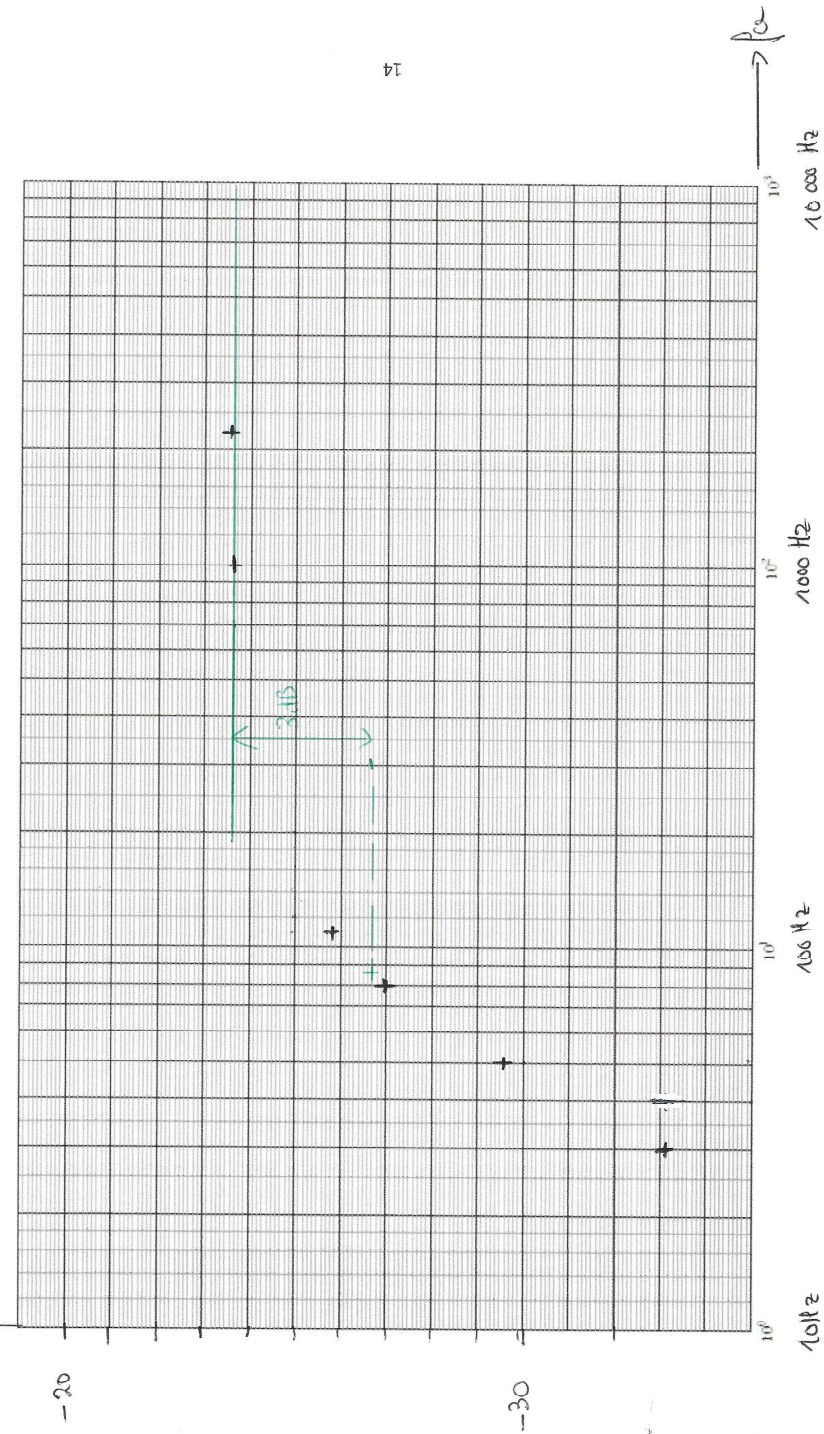
Ceci est compatible avec une pente basse-fréquence de +20 dB/décade et donc le diagramme de Bode est compatible avec un filtre passe-haut d'ordre 1.

$|H_0|$ est le gain à haute fréquence $|H_0| = H(2200 \text{ Hz}) = 6,6 \cdot 10^{-2}$

On peut chercher f_0 par extrapolation du diagramme de Bode, en cherchant le point associé au gain $-23,6 - 3 \text{ dB} = -26,6 \text{ dB}$. On trouve $f_0 \approx 88 \text{ Hz}$

$GdB(\text{dB})$

DIAGRAMME DE BODE EN GAIN DU FILTRE



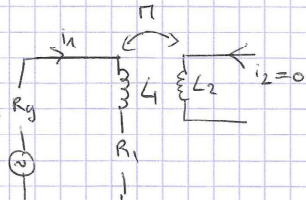
On peut estimer à l'œil $f_A = 88 \pm 2$ Hz

$$|H_0| = \frac{u_{2A} (2\text{kHz})}{\text{eff}}$$

$$\frac{|H_0|}{H_0} = \sqrt{\left(\frac{u_{2A}}{u_{2A}}\right)^2 + \left(\frac{\Delta_{\text{eff}}}{\text{eff}}\right)^2} \approx 3\%$$

$$|H_0| = (6,6 \pm 0,2) 10^{-2}$$

3)



Le circuit est linéaire et on se place en RSF à ω .

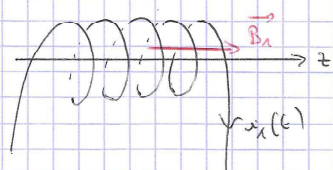
$$i_1 = \frac{e_g}{(R_g + R_1) + j\omega L_1}$$

$$\text{D'où } I_m = \frac{e_m}{\sqrt{(R_g + R_1)^2 + L_1^2 \omega^2}}$$

$$e_g = j \underbrace{[R_g + R_1]}_{> 0} + j\omega L_1$$

Il est tellement que $\cos \phi_e > 0$ et $\tan \phi_e = \frac{L_1 \omega}{R_g + R_1}$

4)



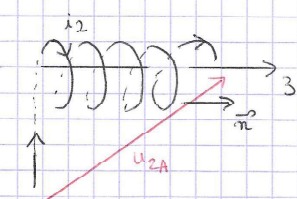
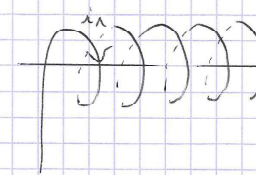
En utilisant la règle de la main droite, il vient $B_2 > 0$ si $i_1(t) > 0$ avec l'axe (0z) choisi sur le dessin.

$$B_2 = \mu_0 m_1 \frac{e_g}{(R_g + R_1) + j\omega L_1}$$

$$\text{Ainsi } f(\omega) = \frac{\mu_0 m_1}{(R_g + R_1) + j\omega L_1}$$

5) Le champ magnétique \vec{B}_1 variable induit une tension dans la bobine 2 selon la loi de Faraday

12



normale aux spires de la bobine 2

u_{2A} et i_2 sont orientés dans le même sens.

$$u_{2A}(t) = - \frac{d\Phi}{dt} = - \frac{d}{dt} (N_2 \pi r_2^2 B_2)$$

$$\text{D'où } u_{2A} = - N_2 \pi r_2^2 (j\omega) f(\omega) e_g = \boxed{- N_2 \pi r_2^2 (j\omega) B_2}$$

$$6) \text{ On déduit } H_A = \frac{u_{2A}}{e_g} = - N_2 \pi r_2^2 (j\omega) f(\omega)$$

$$\Rightarrow \boxed{H_A = - N_2 \pi r_2^2 (j\omega) \frac{j\omega m_1}{(R_g + R_1) + j\omega L_1}}$$

On retrouve bien la fonction de transfert d'un filtre passe-haut d'ordre un.

$$\frac{H_A}{\omega} \xrightarrow[\omega \rightarrow 0]{} 0$$

$$\frac{H_A}{\omega} \xrightarrow[\omega \rightarrow \infty]{} - \frac{N_2 \pi r_2^2}{L_1} j\omega m_1$$

. La modélisation théorique semble en accord avec l'expérience.

On en déduit

$$H_0 = - \frac{N_2 \pi r_2^2 j\omega m_1}{L_1}$$

$$f_A = \frac{R_g + R_1}{L_1} \cdot \frac{1}{2\pi}$$

$$L_1 = \frac{R_g + R_1}{2\pi f_A}$$

$$\text{AN } L_1 = \frac{50,0 + 11,2}{2\pi \cdot 88}$$

$$L_1 = 0,11 \text{ H} = 1,1 \cdot 10^{-2} \text{ H}$$

7) Le filtre obtenu est un filtre passe-bande d'ordre 2.

4

Par rapport au filtre expérimental de l'expérience A, ce filtre diffère essentiellement en hautes fréquences ($f > 1 \text{ kHz}$)

On a effectivement le même type de comportement à basses fréquences ($f < 1 \text{ kHz}$), même pente à basses fréquences, mêmes valeurs du gain.

On constate donc que la présence de la feuille d'Aluminium provoque un comportement du dispositif qui coupe les hautes fréquences.

(Ceci peut sans doute s'expliquer par le fait que les métaux réfléchissent d'autant mieux les champs électromagnétiques que la fréquence augmente car l'effet de peau est plus important - cf cours de spé)

8) Pour trouver f_0 , le plus précis, c'est d'étudier le diagramme de Bode en phase et de trouver la fréquence pour laquelle $\arg(H_p) = \pi$

On trouve $f_0 = 1,1 \text{ kHz}$

Pour déterminer H_0' , il suffit de mesurer $H_p(f_0)$. On trouve $GdB(f_0) = -23,6 \text{ dB}$ et il vient $H_0' = -6,61 \cdot 10^{-2}$ car $\varphi(f_0) = \pi$.

Pour déterminer les fréquences de coupure à -3 dB , afin de trouver Φ , on peut soit utiliser le diagramme de la phase et chercher les fréquences telles que $\varphi = 225^\circ / 135^\circ$, soit utiliser le diagramme du gain et chercher les fréquences telles que $GdB = GdB(f_0) - 3$

Je choisis la première méthode $f_{c1} = 85 \text{ Hz}$ et $f_{c2} = 15 \text{ kHz}$

$$\text{On en déduit : } \Phi = \frac{f_0}{f_{c2} - f_{c1}} = \frac{0,067}{15 - 85} = 6,7 \cdot 10^{-2}$$

9) $\underline{H_p} = \underline{H_A} \cdot \underline{H_B} \rightarrow GdB_p = GdB_A + GdB_B$

cas $f_2 > f_1$

①

GdB

f_1

f_2

$\log f$

-20

cas idéal

GdB_A

GdB_B

filtre passe haut
d'ordre 2

filtre passe - pas
d'ordre 2

GdB_A

GdB_B

Cas $f_2 < f_1$

②

GdB

f_2

f_1

$\log f$

-20

GdB_A

GdB_B

f_1

f_2

$\log f$

Comme on retrouve le même comportement basses-frequencies pour $f < 1 \text{ kHz}$
pour GdB_A exp et GdB_B théorique, on en déduit que nous sommes dans la
situation ① : $f_2 > f_1$.

(On avait trouvé effectivement $f_n = 88 \text{ Hz}$ dans la question 2)

$$10) \frac{H_p}{H_o} = \frac{H_o}{1 + jQ\left(\frac{f}{f_0} - \frac{f_0}{f}\right)} = \frac{H_o \cdot f/f_1}{1 + jf/f_1} \cdot \frac{1}{1 + jf/f_2}$$

$$\frac{\frac{H_o}{j} \cdot \frac{f/f_1}{f/f_2}}{1 + \frac{f^2}{f_0 Q} + 1} = \frac{H_o \cdot f/f_1}{1 + jf\left(\frac{1}{f_1} + \frac{1}{f_2}\right) - \frac{f^2}{f_1 f_2}}$$

$$\text{On en déduit } \frac{f_1 f_2}{f_1 + f_2} = f_0^2 \quad \frac{1}{f_0 Q} = \frac{1}{f_1} + \frac{1}{f_2}$$

$$\text{et } H_o \cdot \frac{1}{f_0 Q} = \frac{H_o}{f_1}$$

$$\text{D'où } H_o = \frac{H_o}{f_1} \cdot \left(\frac{f_1 f_2}{f_1 + f_2} \right) = \boxed{H_o \frac{f_2}{f_1 + f_2}}$$

$$f_0 = \sqrt{f_1 f_2} \quad ①$$

$$Q = \frac{\sqrt{f_1 f_2}}{(f_1 + f_2)} \quad ②$$

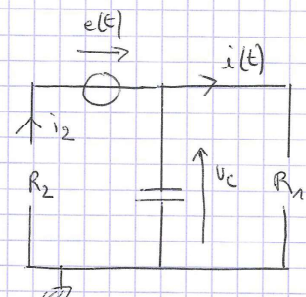
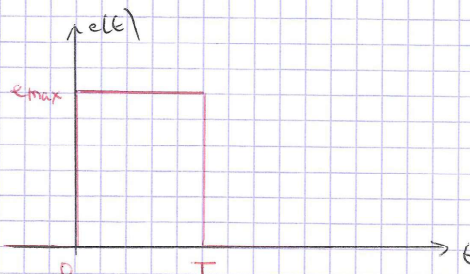
En utilisant ① et ②, on obtient $\frac{f_1^2}{Q} - \frac{f_0}{Q} f_1 + \frac{f_0^2}{Q} = 0$
ou $f_2^2 - \frac{f_0}{Q} f_2 + \frac{f_0^2}{Q} = 0$

D'où
$$\begin{cases} f_1 = \frac{f_0}{2Q} - \frac{1}{2} \sqrt{\frac{f_0^2}{Q^2} - 4f_0^2} \\ f_2 = \frac{f_0}{2Q} + \frac{1}{2} \sqrt{\frac{f_0^2}{Q^2} - 4f_0^2} \end{cases}$$

AN.
$$\begin{cases} f_1 = 74 \text{ Hz} \\ f_2 = 16 \text{ kHz} \end{cases}$$

On obtient le bon ordre de grandeur pour f_1 .
La présence de la feuille d'Aluminium provoque un comportement qui coupe les hautes fréquences.

III De la difficulté de bloquer efficacement



$$\begin{aligned} 11) \quad & \begin{cases} u_c = R_1 i = e(t) - R_2 i_2 \\ i_2 = i + C \frac{du_c}{dt} \end{cases} \end{aligned}$$

$$\Rightarrow \frac{e - u_c}{R_2} = \frac{u_c}{R_1} + C \frac{du_c}{dt} \quad |8$$

$$\Leftrightarrow \left[\frac{du_c}{dt} + \frac{1}{C} \cdot \left(\frac{1}{R_1} + \frac{1}{R_2} \right) u_c = \frac{e(t)}{R_2 C} \right] \quad (E)$$

12) u_c , étant une tension aux bornes d'un condensateur, est une tension continue.

Pour $t < 0$ $u_c = 0$

Pour $t > 0$ (E) devient $\frac{du_c}{dt} + \frac{u_c}{R_{eq} C} = \frac{e_{max}}{R_2 C}$

On peut résoudre (E) :

$$u_c(t) = e_{max} \frac{R_{eq}}{R_2} + A e^{-\frac{t}{\tau}} \quad \text{avec } \tau = R_{eq} C$$

$$R_{eq} = \frac{R_1 R_2}{R_1 + R_2}$$

Par continuité de u_c , il vient :

$$\boxed{u_c(t) = \frac{R_1}{R_1 + R_2} e_{max} \left(1 - e^{-\frac{t}{\tau}} \right)}$$

$$\boxed{\tau = \frac{R_1 R_2 C}{R_1 + R_2}}$$

13) Il avert assez facilement $i(t) = \frac{u_c(t)}{R_1}$

$$\boxed{i(t) = \frac{e_{max}}{R_1 + R_2} \left(1 - e^{-\frac{t}{\tau}} \right)}$$